

Особенности преломления звука на границе раздела между чистой водой и водой с пузырьками

В. В. Саранулова, аспирант

г. Бирск ФГБОУ ВПО Бирский филиал БашГУ

Известно, что выбросы газовых пузырьков в водоеме мешают работе гидролокатора, отражая звуковой импульс и, тем самым, скрывая объекты, находящиеся позади себя. Поэтому, завесу из смеси жидкости с газовыми пузырьками можно использовать в качестве защитного слоя для подводных объектов от воздействия ударных волн, для “маскировки” при гидролокации, а также в качестве подводного звукового канала.

Особенности отражения и преломления звука на границе воды и воды с пузырьками при прямом падении акустической волны изучались в [1-3]. Однако проблема отражения и преломления акустических волн при косом падении на границу раздела до настоящего времени осталась незатронутой как в теоретическом, так и в экспериментальном плане.

В настоящей работе анализируется преломление акустических волн на границе раздела между “чистой” и пузырьковой жидкостью при косом падении. Установлено, что для волн, падающих со стороны чистой воды, при любом угле падения угол преломления меньше прямого угла и, следовательно, она всегда проникает в зону, охваченную пузырьковой водой. В обратной ситуации, когда волна падает со стороны воды с пузырьками на границу раздела, показано, что для низкочастотной зоны ($\omega < \omega^{(R)}$, $\omega^{(R)}$ – собственная частота пузырька) при углах падения $\theta^{(0)}$, превышающих некоторое предельное значение $\theta_*^{(0)}$ ($\theta^{(0)} \geq \theta_*^{(0)}$), зависящее от параметров дисперсной смеси, происходит полное внутреннее отражение.

Запишем согласно [1] линеаризованные уравнения сохранения масс, числа пузырьков, импульсов и изменения давления в пузырьках в предположении однородности

$$\begin{aligned} \frac{\partial \rho_l}{\partial t} + \rho_{l0} \frac{\partial v_l}{\partial x} = 0, \quad \frac{\partial \rho_g}{\partial t} + \rho_{g0} \frac{\partial v_g}{\partial x} = 0, \quad \frac{\partial n}{\partial t} + n_0 \frac{\partial v}{\partial x} = 0, \\ (\rho_{l0} + \rho_{g0}) \frac{\partial v}{\partial t} + \frac{\partial p_l}{\partial x} = 0, \quad \frac{\partial p_g}{\partial t} = -\frac{3\gamma p_{g0}}{a_0} \frac{\partial a}{\partial t} - \frac{3(\gamma-1)}{4\pi a_0^3} q, \\ \rho_l = \rho_l^0 \alpha_l, \rho_g = \rho_g^0 \alpha_g, \alpha_l + \alpha_g = 1, \alpha_g = \frac{4}{3} \pi n a^3. \end{aligned} \quad (1)$$

Здесь нижние индексы $i = l$ и g относятся к параметрам жидкой и газовой фаз; $\rho_i, \rho_i^0, v_i, p, \alpha_i, a, n$ – средняя по фазе и средняя по смеси плотности, скорость, давление, объемное содержание, радиус пузырьков, число пузырьков в единице объема смеси соответственно, q и γ – интенсивность теплообмена, отнесенная к единице площади поверхности, и показатель адиабаты газа.

Уравнения состояния для жидкой и газовой фаз примем как

$$p_l = p_0 + C_l^2 (\rho_l^0 - \rho_{l0}^0), p_g = R_g \rho_g^0 T_g, \quad (2)$$

где R_g – газовая постоянная, T_g и ρ_g^0 – распределение температуры и плотности в пузырьках. Дополнительный нижний индекс (0) относится к равновесному состоянию.

При описании динамики радиального движения пузырьков будем полагать, что радиальная скорость состоит из двух слагаемых

$$\frac{\partial a}{\partial t} = w, \quad w = w^{(R)} + w^{(A)}.$$

Причем $w^{(R)}$ описывается уравнением Рэлея-Ламба

$$a_0 \frac{\partial w^{(R)}}{\partial t} + \frac{3}{2} w^{(R)2} = \frac{p_g - p_l}{\rho_{l0}^0}. \quad (4)$$

Акустическая добавка $w^{(A)}$, которая находится из решения задачи о сферической разгрузке [1] на сфере, запишется как

$$w^{(A)} = \frac{p_g - p_l}{\rho_{l0}^0 C_l \alpha_{g0}^{1/3}}.$$

Для описания межфазного теплообмена необходимо добавить уравнение теплопроводности и граничные условия для газа в пузырьках

$$\begin{aligned} \rho_{g0}^0 c_g \frac{\partial T_g}{\partial t} &= \frac{1}{r^2} \frac{\partial}{\partial r} \left(\lambda_g r^2 \frac{\partial T_g}{\partial r} \right) + \frac{\partial p_g}{\partial t}, r < a_0, \\ T_g &= T_0, r < a_0, \frac{\partial T_g}{\partial r} = 0, r = 0, q = -\lambda_g \left(\frac{\partial T_g}{\partial r} \right)_{a_0}, \end{aligned} \quad (5)$$

где c_g – теплоемкость газовой фазы при постоянном давлении.

Решение вышеприведенной системы ищется в виде затухающей бегущей волны

$$\begin{aligned} (p, v, a, n) &= A_{(p)}, A_{(v)}, A_{(a)} A_{(n)} \exp[i(Kx - \omega t)], T = A_{(T)}(r) \exp[i(Kx - \omega t)], \\ (K &= k + i\delta, C_p = \omega/k), \end{aligned} \quad (6)$$

где ω – частота возмущений, K – волновой вектор, C_p и δ – фазовая скорость и коэффициент затухания. Из условия существования нетривиального решения вида (6) системы (1)–(5) следует дисперсионное уравнение

$$\begin{aligned} \frac{K^2}{\omega^2} &= \frac{(1 - \alpha_{g0})^2}{C_\ell^2} + \frac{1}{C_M^2 \Psi}, \Psi = \frac{1}{Q} - \frac{\omega^2}{\chi \omega^{(R)2}}, Q = 1 + 3(\gamma - 1)(z \operatorname{cthz} - 1) / z^2, \\ C_M &= \sqrt{\frac{\gamma p_0}{\rho_{\ell 0}^0 \alpha_{g0} (1 - \alpha_{g0})}}, z = \sqrt{-i \omega a_0^2 / v_g^{(T)}}, \omega^{(R)} = a_0^{-1} \sqrt{3 \gamma p_0 / \rho_{l0}^0}, \\ v_g^{(T)} &= \frac{\lambda_g}{c_g \rho_{g0}^0}, \chi = 1 - i \omega t_A, t_A = a_0 \alpha_{g0}^{-1/3} C_l^{-1}. \end{aligned} \quad (7)$$

Запишем уравнение, которое следует из уравнений импульсов из (1) для решений вида (6)

$$A_{(v)} = \frac{K}{\omega} \frac{A_{(p)}}{\rho_{l0} + \rho_{g0}}. \quad (8)$$

Здесь $A_{(v)}$ и $A_{(p)}$ – амплитуды для возмущения скорости и давления воды в пузырьковой жидкости.

Пусть на плоскую границу раздела между жидкостью и газонасыщенной жидкостью падает волна. Будем полагать, что, как и в случае обычных однофазных сред, отраженная от границы и преломленная волны представляют плоские гармонические волны [4]. Тогда, в зоне воды малые возмущения представляют сумму из двух гармонических волн, а в

зоне пузырьковой жидкости – одну гармоническую волну. Возмущения, соответствующие падающей, отраженной и преломленной волнам, снабдим верхними значками (0), (r) и (s). Тогда условие неразрывности нормальных составляющих скоростей и давления на границе раздела можно записать как

$$p^{(0)} + p^{(r)} = p^{(s)}, v_a^{(0)} \cos \theta^{(0)} - v_a^{(r)} \cos \theta^{(r)} = v_a^{(s)} \cos \theta^{(s)}. \quad (9)$$

Здесь $\theta^{(0)}$, $\theta^{(r)}$ и $\theta^{(s)}$ – соответственно углы падения, отражения и преломления. Ось x направим вертикально вверх в сторону воды, а ось y направим так, чтобы волновой вектор был параллелен координатной плоскости xoy . Тогда для падающей, отраженной и преломленной волн вида (6) при косом падении можем записать

$$p^{(0)} = A_p^{(0)} \exp \left[i \left(K^{(0)} (n_x^{(0)} x + n_y^{(0)} y) - \omega t \right) \right], p^{(r)} = A_p^{(r)} \exp \left[i \left(K^{(r)} (-n_x^{(r)} x + n_y^{(r)} y) - \omega t \right) \right], \\ p^{(s)} = A_p^{(s)} \exp \left[i \left(K^{(s)} (n_x^{(s)} x + n_y^{(s)} y) - \omega t \right) \right], (n_x^{(0)} = \cos \theta^{(0)}, n_y^{(0)} = \sin \theta^{(0)}, n_x^{(r)} = \cos \theta^{(r)}, \\ n_y^{(r)} = \sin \theta^{(r)}, n_x^{(s)} = \cos \theta^{(s)}, n_y^{(s)} = \sin \theta^{(s)}) \quad (10)$$

Для волновых чисел $K^{(0)}$ и $K^{(r)}$ имеет место $K^{(0)} = K^{(r)} = \omega / C_l$.

Волновое число $K^{(s)}$ определяется из дисперсионного уравнения (7). Амплитуда возмущений скоростей с амплитудами давления связаны выражениями вида (8). Тогда имеет место

$$A_{(v)}^{(0)} = \frac{A_{(p)}^{(0)}}{\rho_{l0} C_l}, A_{(v)}^{(r)} = -\frac{A_{(p)}^{(r)}}{\rho_{l0} C_l}, A_{(v)}^{(s)} = \frac{K^{(s)}}{\omega} \frac{A_{(p)}^{(s)}}{\rho_{l0} + \rho_{g0}}. \quad (11)$$

На основе условий (9) для решений вида (10) с учетом (11) при $x = 0$ получим

$$A_{(p)}^{(0)} \exp(iK^{(0)} n_y^{(0)} y) + A_{(p)}^{(r)} \exp(iK^{(r)} n_y^{(r)} y) = A_{(p)}^{(s)} \exp(iK^{(s)} n_y^{(s)} y), \\ A_{(p)}^{(0)} \cos \theta^{(0)} \exp(iK^{(0)} n_y^{(0)} y) - A_{(p)}^{(r)} \cos \theta^{(r)} \exp(iK^{(r)} n_y^{(r)} y) = \\ = A_{(p)}^{(s)} \cos \theta^{(s)} \frac{K^{(s)}}{\omega} \frac{\rho_l^0 C_a}{\rho_{l0} + \rho_{g0}} \exp(iK^{(s)} n_y^{(s)} y). \quad (12)$$

Чтобы эти уравнения выполнялись для любых значений y , должны выполняться равенства

$$K^{(0)} n_y^{(0)} = K^{(r)} n_y^{(r)} = K^{(s)} n_y^{(s)}. \quad (13)$$

Отсюда имеем

$$\sin \theta^{(0)} = \sin \theta^{(r)}, \sin \theta^{(0)} = (K^{(s)}/\omega) C_l \sin \theta^{(s)}. \quad (14)$$

Поскольку волновое число $K^{(s)}$ – комплексное, то, как это следует из второго равенства (14), угол преломления также имеет мнимую часть.

В том случае, когда волна падает со стороны пузырьковой жидкости на границу раздела, вместо второго равенства (14) получим

$$\sin \theta^{(0)} = (\omega/K^{(s)} C_l) \sin \theta^{(s)}. \quad (15)$$

В качестве примера пузырьковой жидкости рассмотрим смесь воды с воздушными включениями. В численных расчетах использовались следующие значения теплофизических [5] параметров при $p_0=0.1$ МПа, $T_0=300$ К: для воды– $C_l=1500$ м/с, $\rho_{l0}^0=1000$ кг/м³; для воздуха – $\rho_{g0}^0=1.3$ кг/м³, $c_g=1006$ Дж/(кг·К), $\lambda_g=0.026$ Вт/(м·К). Для значения радиуса пузырьков приняли следующее значение $a_0=5 \cdot 10^{-4}$ м. Сплошные и пунктирные линии здесь и в дальнейшем соответствуют значениям объемного содержания газовой фазы $\alpha_{g0} = 10^{-3}$ и 10^{-2} . Расчеты проводились в математическом пакете Mathcad 14, построение рисунков выполнено в графопостроителе OriginLab 8.1.

На рис.1 представлены зависимости угла преломления от угла падения волны со стороны воды (а) и со стороны пузырьковой жидкости (б) на границу раздела «вода – пузырьковая вода». Линии 1 и 2 здесь соответствуют величинам характерных частот $\omega = 10^3$, когда выполняется условие $\omega \leq \omega^{(R)}$, и 10^6 с⁻¹, когда выполняется $\omega \geq \omega^{(C)}$ ($\omega^{(C)} = \omega^{(R)} \sqrt{1 + \rho_{l0}^0 \alpha_{g0} C_l^2 / \gamma p_0}$). Согласно второй формуле из (14) угол преломления $\theta^{(s)}$ является комплексным числом, поскольку волновое число $K^{(s)}$ для пузырьковой системы комплексное. При этом действительная часть будет иметь обычный геометрический смысл. Поэтому, в дальнейшем под углом преломления будем понимать действительную часть $\theta^{(s)}$. Из фрагмента (а) видно, что угол преломления на всем диапазоне изменения угла падения ($0 \leq \theta^{(0)} \leq \pi/2$) меньше прямого угла ($\theta^{(s)} < \pi/2$).

Следовательно, при любом угле падения, акустическая волна всегда проникает из чистой жидкости в пузырьковую смесь.

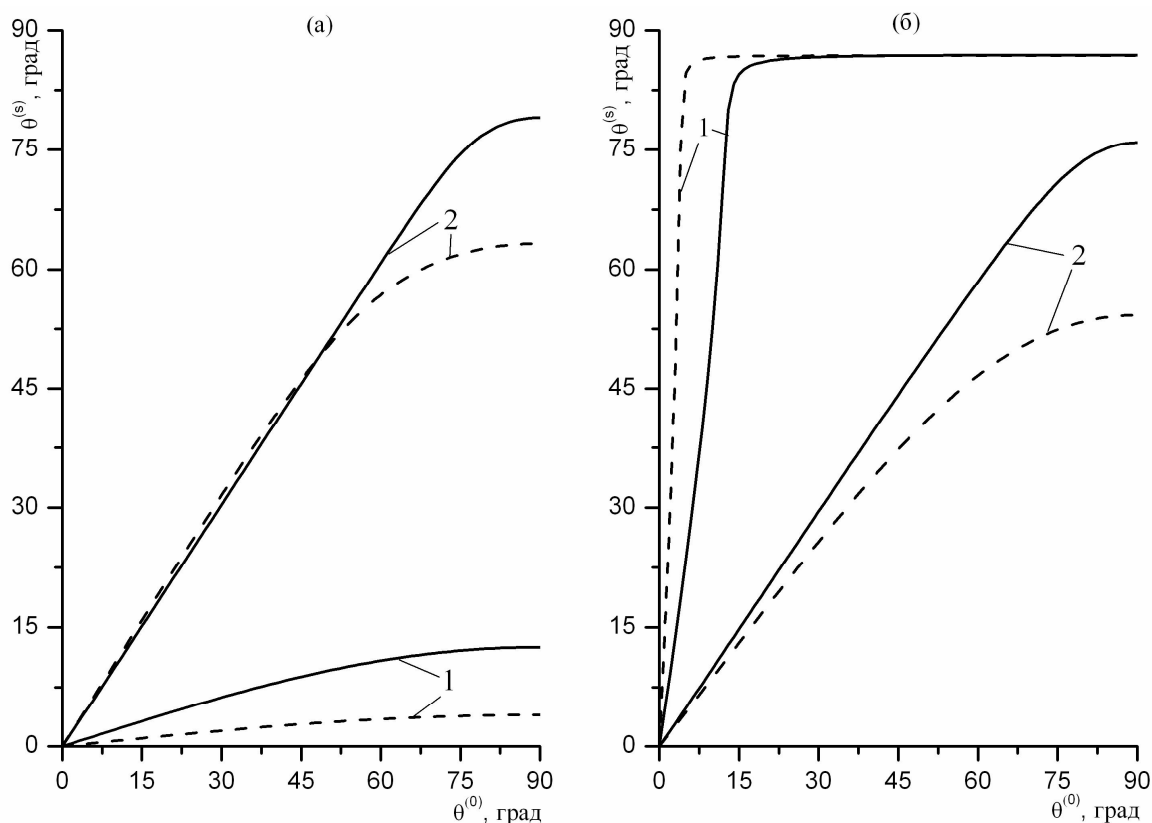


Рис.1. Угол преломления при падении волны со стороны воды(а) и со стороны пузырьковой жидкости(б) в зависимости от угла падения.

Иная картина реализуется для случая, когда падающая волна идет со стороны дисперсной смеси (б). Видно, что для частоты $\omega = 10^3 \text{ с}^{-1}$ при углах падения $\theta_*^{(0)} \geq 15^\circ$ и $\theta_*^{(0)} \geq 5^\circ$, для $\alpha_{g0} = 10^{-3}$ и 10^{-2} соответственно, угол преломления начинает “прижиматься” к значению $\theta^{(s)} \approx 90^\circ$. Таким образом, в этом случае, будет реализовываться полное внутреннее отражение [4]. Для высоких частот ($\omega \geq \omega^{(c)}$) такая особенность, связанная с полным внутренним отражением, исчезает.

На рис.2 представлена зависимость критического угла $\theta_*^{(0)}$ от объемного содержания газовых пузырьков в дисперсной системе. Здесь сплошная и пунктирная линии соответствуют значениям частот $\omega = 10^3$ и 10^2 с^{-1} .

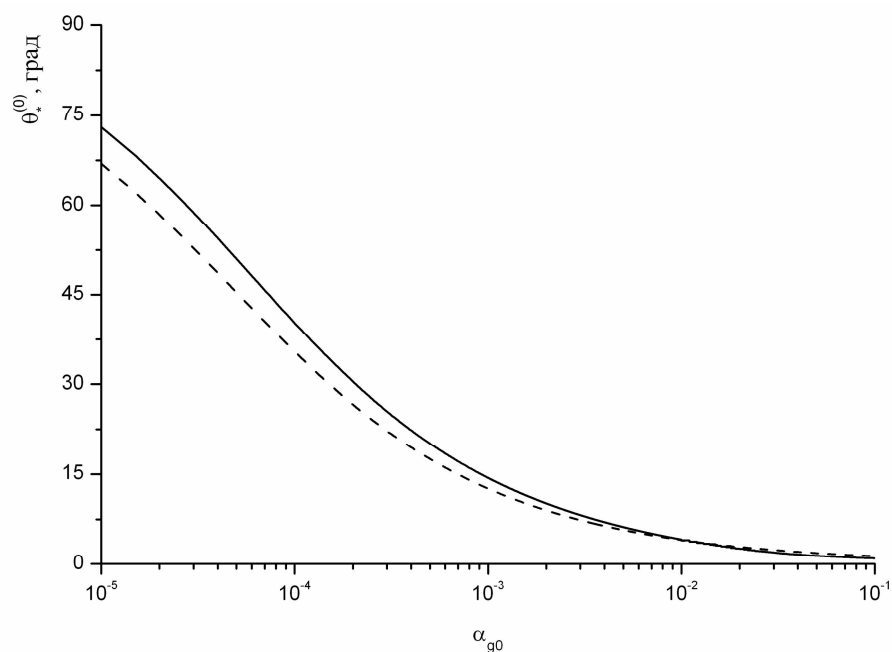


Рис.2. Зависимость критического угла падения от объемного содержания газовых включений.

Таким образом, при падении волны со стороны воды на границу раздела она всегда проходит через неё и, следовательно, проникает в дисперсную систему. В случае, когда волна падает со стороны пузырьковой среды на границу раздела, то для низких частот ($\omega \leq \omega^{(R)}$) существует критический угол, зависящий от параметров смеси, при углах больше которого волна полностью отражается от границы раздела.

Литература

1. *Shagapov V. Sh., Gimaltdinov I.K., Khabeev N.S., Bailey S.S.* Acoustic waves in a liquid with a bubble screen // *Shock Waves*. 2003. V.13. № 1. P. 49–56.
2. *Karpov S., Prosperetti A., Ostrovsky L.* Nonlinear wave interactions in bubble layers // *J. Acoust. Soc. Am.* 2003. V. 113 (3). P. 1304–1316.
3. *Baranowska A.* Theoretical Studies of Nonlinear Generation Efficiency in a Bubble Layer // *Archives of acoustics*. 2012. V. 37. P. 287–294.
4. *Лепендин Л.Ф.* Акустика. М.: Высшая школа, 1978.
5. *Варгафтик Н.Б.* Справочник по теплофизическим свойствам газов и жидкостей. М.: Наука, 1972.